

УДК 541.138.3

ЭЛЕКТРОМИГРАЦИОННОЕ СОПРЯЖЕНИЕ ПРОЦЕССОВ ОСАЖДЕНИЯ КАТИОНОВ МЕТАЛЛА И ВОССТАНОВЛЕНИЯ АНИОНОВ В КИСЛЫХ РАСТВОРАХ

Сокирко А. В., Харкац Ю. И.

Решена электродиффузионная задача о процессах параллельного восстановления катионов металла и анионов с участием ионов водорода для произвольных зарядностей ионов. Результирующее поведение предельного диффузионно-миграционного тока обуславливается как снижением миграционного тока при добавлении к раствору кислоты, так и повышением миграционного тока за счет эффекта корреляционной экзальтации миграционного тока. Рассчитаны зависимости «полностью» предельного тока от стехиометрических коэффициентов, состава раствора и коэффициентов диффузии ионных компонентов.

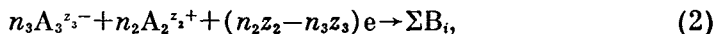
Совместное протекание нескольких параллельных электродных реакций в отсутствие в системе фонового электролита приводит к эффектам их взаимного влияния. Примерами такого влияния служит эффект экзальтации миграционного тока, наблюдающийся при одновременном восстановлении катионов и нейтрального вещества [1–3] и эффект корреляционной экзальтации миграционных токов, проявляющийся при параллельном протекании однотипных процессов восстановления катионов разных сортов [2, 4].

В настоящей работе развивается общий подход к решению задачи о взаимном влиянии процессов электроосаждения металлов и восстановления анионов, позволяющий провести исследование для систем с произвольными зарядностями ионов.

Рассмотрим параллельное восстановление катионов металла



и восстановление анионов $A_3^{z_3-}$ с участием катионов $A_2^{z_2+}$:



где n_2, n_3 — соответствующие стехиометрические коэффициенты; z_1, z_2, z_3 — зарядности ионов; ΣB_i обозначает совокупность нейтральных продуктов реакции (2). Ограничимся здесь анализом процессов типа (2), в которых продукты электронейтральны, и раствор содержит два типа катионов и один тип анионов. Некоторые примеры таких реакций, протекающих в подкисленных нитратных растворах при электроосаждении меди, приведены в [5].

Система электродиффузионных уравнений, описывающих восстановление катионов металла (1) и параллельное восстановление анионов с участием катионов по схеме (2), имеет вид

$$\frac{dc_1}{dx} + z_1 c_1 \frac{F}{RT} \frac{d\Phi}{dx} = \frac{i_1 L}{z_1 F D_1 c_1^0} = j_1 \quad (3)$$

$$\frac{dc_2}{dx} + z_2 c_2 \frac{F}{RT} \frac{d\Phi}{dx} = \frac{n_2}{n_2 z_2 - n_3 z_3} \frac{i_2 L}{F D_2 c_1^0} = v j_2 \quad (4)$$

$$\frac{dc_3}{dx} - z_3 c_3 \frac{F}{RT} \frac{d\Phi}{dx} = \frac{n_3}{n_2 z_2 - n_3 z_3} \frac{i_2 L}{F D_3 c_1^0} = j_2 \quad (5)$$

$$z_3 c_3 = z_1 c_1 + z_2 c_2 \quad (6)$$

Здесь c_1, c_2 и c_3 — концентрации катионов $A_1^{z_1+}, A_2^{z_2+}$ и анионов $A_3^{z_3-}$ соответственно, обезразмеренные на c_1^0 — концентрацию катионов $A_1^{z_1+}$ в растворе; D_i — соответствующие коэффициенты диффузии; Φ — электрический

потенциал; F — число Фарадея; R — газовая постоянная, T — абсолютная температура; x — безразмерная координата ($0 < x < 1$); L — толщина диффузионного слоя Нернста; i_1 и i_2 — плотности токов реакций (1) и (2) соответственно; $\nu = n_2 D_3 / n_3 D_2$. Отметим, что поскольку потоки всех трех сортов ионов направлены к электроду, величины j_1 , j_2 , νj_2 положительны. Уравнение (6) выражает условие локальной электронейтральности. На границе диффузионного слоя $x=1$ заданы значения концентраций компонентов и потенциала

$$c_1(1) = 1, c_2(1) = k, c_3(1) = Z_1 + kZ_2, \Phi(1) = 0, \quad (7)$$

где $k = c_2^0 / c_1^0$ — безразмерная концентрация ионов $A_2^{z_2+}$ в объеме раствора и для удобства записи введены относительные зарядности ионов $Z_1 = z_1 / z_3$, $Z_2 = z_2 / z_3$.

В рассматриваемой электрохимической системе возможна реализация «парциального» предельного тока по ионам металла, соответствующего условию $c_1(0) = 0$, или «парциального» предельного тока по катионам, участвующим в параллельной реакции (2), соответствующего выполнению условия $c_2(0) = 0$. Существование предельного тока по разряжающимся анионам возможно, как следует из (6), только тогда, когда все три концентрации на электроде стремятся к нулю: $c_1(0) = c_2(0) = c_3(0) = 0$. Такому состоянию «полностью» предельного тока должны соответствовать некоторые определенные значения величин потоков ионов j_1 и j_2 .

Целью настоящего исследования является нахождение распределений концентраций, потенциала и величин потоков ионов в режиме «полностью» предельного тока.

Складывая уравнения (3) — (6) и интегрируя с учетом граничных условий (7), получаем

$$c_1(x) + c_2(x) + c_3(x) = [j_1 + j_2(\nu + 1)](x - 1) + 1 + k + Z_1 + Z_2 k. \quad (8)$$

При $x=0$ из выражений (8) и (6) следует

$$j_2 = \frac{(1 + Z_1)(1 - f_1) + (1 + Z_2)(k - f_2)}{1 + J + \nu}, \quad (9)$$

где $J = j_1 / j_2$ — отношение потоков, $f_1 = c_1(0)$ и $f_2 = c_2(0)$ — обозначения для концентраций катионов вблизи электрода. Для того чтобы рассчитать значение потока j_2 в условиях предельного тока по катионам металла, нужно положить в (9) $f_1 = 0$ и найти зависимость f_2 от параметра J . Состоянию полностью предельного тока соответствуют условия $f_1 = f_2 = 0$ и некоторое определенное значение J .

Умножив уравнение (3) на z_1 , (4) на z_2 и (5) на $-z_3$ и сложив, с учетом (6) получаем выражение для безразмерной напряженности электрического поля $-E = d\Phi/dx$:

$$\frac{d\Phi}{dx} = \frac{j_2 \beta}{c_1 + \alpha c_2}, \quad (10)$$

где $\Phi = z_3 F \Phi / RT$ — безразмерный потенциал и введены обозначения для комбинаций параметров:

$$\alpha = \frac{Z_2}{Z_1} \frac{Z_2 + 1}{Z_1 + 1} > 0, \quad (11)$$

$$\beta = \frac{J}{Z_1 + 1} + \frac{Z_2 \nu - 1}{Z_1(Z_1 + 1)}. \quad (12)$$

Как следует из (10), (12), при $Z_2 \nu < 1$ величина β , а следовательно, и величина $d\Phi/dx$ могут принимать как положительные, так и отрицательные значения.

Перейдем в уравнениях (3), (5) к новой независимой переменной Ψ и подставим $dx/d\Psi$ из (10)

$$\frac{dc_1}{d\Psi} + Z_1 c_1 = \frac{J}{\beta} (c_1 + \alpha c_2), \quad (13)$$

$$\frac{dc_2}{d\Psi} + Z_2 c_2 = \frac{\nu}{\beta} (c_1 + \alpha c_2). \quad (14)$$

Включать в эту систему уравнение для c_3 не нужно, поскольку оно является следствием (13), (14) и (6), (10). Будем искать решение уравнений (13), (14) в виде $\exp(\lambda\Psi)$, которому соответствует характеристическое уравнение для собственных значений λ :

$$\beta\lambda^2 + \lambda[(Z_1 + Z_2)\beta - J - \nu\alpha] - (1 + J + \nu)Z_2/(Z_1 + 1) = 0. \quad (15)$$

Поскольку свободный член уравнения (15) всегда отрицателен, при $\beta > 0$ оно имеет два корня разных знаков. Для того чтобы исследовать случай $\beta < 0$, перепишем с учетом (12) характеристическое уравнение (15) в виде

$$\lambda^2(1-b) + \lambda(b-a+Z_1+Z_2) + (Z_1Z_2+a) = 0, \quad (16)$$

где

$$b = Jz_1 + \nu Z_2, \quad a = (J + \nu)Z_1Z_2. \quad (17)$$

Как легко видеть из (12), условие $\beta < 0$ эквивалентно условию

$$0 < b < 1, \quad (18)$$

а из (17) и (18) можно получить ограничение на a :

$$0 < a < b \cdot \max(Z_1, Z_2). \quad (19)$$

Рассматривая J и ν , Z_1 и Z_2 как формальные положительные параметры, можно отметить, что они входят в (16), (17) симметрично относительно одновременной замены переменным $Z_1 \rightleftharpoons Z_2$, $\nu \rightleftharpoons J$. Поэтому для доказательства положительности дискриминанта достаточно рассмотреть случай $Z_1 > Z_2$. Дискриминант уравнения (16) записывается в виде:

$$D = (b-a+Z_1+Z_2)^2 - 4(Z_1Z_2+a)(1-b) = (a+b-Z_1+Z_2)^2 + 4(Z_2+1)(bZ_1-a). \quad (20)$$

В силу условия (19) последняя скобка в (20) неотрицательна, и поэтому весь дискриминант неотрицателен. Легко показать, что дискриминант обращается в нуль только при условии $J = \sigma = 0$, где

$$\sigma = Z_2\nu(Z_1+1) + Z_2 - Z_1. \quad (21)$$

Из (18), (19) также следует, что $a < Z_1 + Z_2$. Поэтому все коэффициенты уравнения (16) положительны. Таким образом, у характеристического уравнения (16) при $\beta < 0$ всегда существуют два отрицательных корня

$$\lambda_1 = \frac{-(b-a+Z_1+Z_2) + \sqrt{D}}{2(1-b)}, \quad \lambda_2 = \frac{-(b-a+Z_1+Z_2) - \sqrt{D}}{2(1-b)}. \quad (22)$$

При $\beta > 0$ величины λ_1, λ_2 удовлетворяют неравенствам $\lambda_2 > 0 > \lambda_1$. Случай $\beta = 0$ соответствует $d\Psi/dx = 0$, что означает отсутствие в системе миграционного переноса.

Запишем концентрации в виде, удовлетворяющем граничным условиям (7) при $x=1$:

$$c_1 = g_1 e^{\lambda_1 \Psi} + (1-g_1) e^{\lambda_2 \Psi}, \quad (23)$$

$$c_2 = g_2 e^{\lambda_1 \Psi} + (k-g_2) e^{\lambda_2 \Psi}. \quad (24)$$

Подставляя (23), (24) в (13) или (14) и приравнявая коэффициенты при соответствующих экспонентах в правой и левой частях полученного уравнения, получим линейную систему для g_1, g_2 , решением которой служат

$$\sigma = \frac{\lambda_2 \beta + Z_1 \beta - J - k\alpha J}{\beta(\lambda_2 - \lambda_1)}, \quad \sigma = \frac{\lambda_2 \beta k + Z_2 \beta k - \nu - k\alpha \nu}{\beta(\lambda_2 - \lambda_1)}. \quad (25)$$

Таким образом выражения (23), (24) с подстановкой (17), (22) (25) дают распределение концентраций c_1 , c_2 (а из условия электронейтральности и c_3) в зависимости от Ψ . Подставляя (23), (24) в (10) и интегрируя, можно получить выражение для $x(\Psi)$, которое вместе с (23), (24) задает в параметрическом виде зависимости концентраций c_1 и c_2 от координаты.

Перейдем к обсуждению возможных режимов предельного тока в рассматриваемой системе. Приэлектродные концентрации $c_1(0)$ и $c_2(0)$ даются соотношениями:

$$f_1 = g_1 e^{\lambda_1 \Psi_0} + (1 - g_1) e^{\lambda_2 \Psi_0}, \quad (26)$$

$$f_2 = g_2 e^{\lambda_1 \Psi_0} + (k - g_2) e^{\lambda_2 \Psi_0}, \quad (27)$$

где Ψ_0 — падение безразмерного потенциала в диффузионном слое.

В режиме предельного тока по катионам первого сорта $f_1 = 0$ и из (26), (27) получаем

$$f_2 = \left(\frac{g_1}{g_1 - 1} \right)^{\lambda_1 / (\lambda_2 - \lambda_1)} \left[g_2 - (g_2 - k) \frac{g_1}{g_1 - 1} \right]. \quad (28)$$

Подставляя $f_1 = 0$ и (28) в выражение (9), получаем явную зависимость $j_2 = j_2^1(J)$, которая вместе с $j_1 = J j_2$ определяет в параметрическом виде функцию $j_2 = j_2^1(j_1^1)$ при $f_1 = 0$.

Аналогично при достижении предельного тока по катионам второго сорта $f_2 = 0$ и f_1 дается выражением

$$f_1 = \left(\frac{g_2}{g_2 - 1} \right)^{\lambda_1 / (\lambda_2 - \lambda_1)} \left[g_1 - (g_1 - 1) \frac{g_2}{g_2 - k} \right]. \quad (29)$$

При этом из (9) получаем параметрическую связь токов $j_2^2 = j_2^2(j_1^2)$. Верхние индексы у j_1^i , j_2^i означают, что ток предельен по i -му компоненту.

Вышеуказанные зависимости вместе с осями координат ограничивают на плоскости ($j_1 > 0$, $j_2 > 0$) замкнутую область, внутри которой каждой точке (j_1 , j_2) соответствует определенное состояние электрохимической системы. Рассмотрим более подробно точки пересечения кривых $j_2^1(j_1^1)$ и $j_2^2(j_1^2)$ с осями координат $j_1 = 0$ и $j_2 = 0$, т. е. предельные токи при отсутствии одной из электродных реакций.

Пусть $j_1 = 0$ или $J = 0$. Тогда корни характеристического уравнения системы (13), (14) легко находятся, и решения для профилей концентраций, удовлетворяющие граничным условиям (7) при $x = 1$, можно записать в виде

$$c_1 = \exp(-Z_1 \Psi), \quad (30)$$

$$c_2 = g_0 \exp(-Z_1 \psi) + (k - g_0) \exp \left[-\frac{Z_2(\nu + 1)\psi}{1 - Z_2 \nu} \right]. \quad (31)$$

Константа g_0 находится при подстановке (30), (31) в (14):

$$g_0 = -\nu(Z_1^2 + Z_1) / \sigma. \quad (32)$$

Из выражения (30) очевидно, что при любых конечных Ψ выполняется строгое неравенство $c_1 > 0$, т. е. возможно существование парциального предельного тока только по ионам второго сорта: $c_2(x=0) = 0$. Находя из этого условия с помощью (31) падение потенциала Ψ_0 и подставляя его в (30), получаем значение f_1 , что позволяет с помощью (9) непосредственно вычислить $j_2^2(0)$.

Определим условия, при которых все концентрации обращаются в нуль на электроде при $\Psi \rightarrow \infty$. Необходимым условием для этого является условие положительности коэффициента в (31) при определяющей экспоненте (экспоненте с меньшим по модулю показателем). При $\sigma > 0$ первая экспонента (31) убывает медленнее второй, а значит коэффициент при ней должен быть положительным, что противоречит (32). При $\sigma < 0$, наоборот, вторая экспонента убывает медленнее и поэтому должно выполняться условие $g_0 < k$.

Таким образом, в этом специфическом ($j_1^{12}=0$) случае «полностью» предельного тока получаем из (9) выражение для j_2^{12} :

$$j_2^{12} = (1 + Z_1 + k + kZ_2) / (1 + \nu), \quad j_1^{12} = 0. \quad (33)$$

Перейдем теперь к анализу предельных токов при $j_2=0$. В этом случае имеет место только реакция электроосаждения ионов металла. Из уравнений (4), (5) с учетом граничных условий (6) можно непосредственно найти распределения неэлектроактивных ионов: $c_2 = k \exp(-Z_2 \Psi)$, $c_3 = (Z_1 + Z_2 k) \exp \Psi$. Затем с помощью условия электронейтральности (6) можно получить $c_1(\Psi)$. Проведя выкладки, аналогичные вышеприведенным, можно найти $j_1^{12}(j_2=0)$ при условии предельного тока по катионам $c_1(0)=0$. Зависимость $j_1^{12}(k)$ соответствует обобщению формулы Эйкена на случай ионов произвольной зарядности [6, 7]. Поскольку в вышеприведенных выражениях экспоненты имеют показатели разных знаков, состояние «полностью» предельного тока при $j_2=0$ не реализуется.

Перейдем к нахождению значений потоков j_1^{12} , j_2^{12} в режиме «полностью» предельного тока $f_1 \rightarrow 0$, $f_2 \rightarrow 0$. Полагая в формуле (29) $f_1=0$, получаем, что выражения в первой или второй скобках в правой части должны быть равными нулю. Пусть $\beta < 0$ и в нуль обращается первая скобка. Тогда, поскольку $\lambda_2 < \lambda_1 < 0$, показатель степени $\lambda_1/\lambda_2 - \lambda_1$ — положительное число и, следовательно, $g_2=0$. Однако f_2 , даваемое формулой (28), также обращается в нуль, откуда заключаем, что $g_1=0$. Таким образом, фактически всегда вторая скобка в (28), (29) равна нулю. Как легко увидеть из (23), (24), это означает, что c_1 и c_2 пропорциональны друг другу, а поскольку из условия электронейтральности c_3 является линейной комбинацией c_1 , c_2 , концентрация c_3 также пропорциональна c_1 . Поэтому из выражения (8) получаем линейные профили концентраций, которые в режиме полностью предельного тока можно записать в виде:

$$c_1 = x, \quad c_2 = kx, \quad c_3 = (Z_1 + kZ_2)x. \quad (34)$$

В случае $\beta > 0$ собственные значения λ_1 и λ_2 имеют разные знаки и поэтому в режиме полностью предельного тока в решении (23), (24) следует оставить только экспоненту с отрицательным показателем. Это также приводит к пропорциональности c_1 и c_2 , откуда следует (34). Наконец, при $\beta=0$ вид решений (34) следует непосредственно из (3) — (5).

Подставляя (34) в (10), имеем

$$\frac{d\Psi}{dx} = \frac{j_2 \beta}{x(1 + \alpha k)}. \quad (35)$$

После подстановки (34), (35) в (3) и (5), получаем систему двух линейных уравнений относительно j_1 и j_2 , решение которых дает значения потоков в режиме полностью предельного тока:

$$j_1^{12} = \frac{Z_2 \nu (Z_1 + 1) + Z_2 - Z_1 + \nu Z_1 (Z_1 + 1) / k}{Z_2 (1 + \nu) + \nu Z_1 / k}, \quad (36)$$

$$j_2^{12} = \frac{(Z_2 + 1) + (Z_1 + Z_2 k)}{Z_2 (1 + \nu) + \nu Z_1 / k}. \quad (37)$$

Условием существования решения (36), (37) является положительность числителя (36), что эквивалентно $g_0 > k$ (g_0 — комбинация констант Z_1 , Z_2 , ν , даваемая формулами (32), (21)).

Таким образом, в зависимости от соотношения между параметрами g_0 и k значения j_1^{12} и j_2^{12} даются либо выражениями (33), либо (36), (37). Профили концентраций в режиме полностью предельного тока могут быть как линейными функциями (34) при $g_0 > k$, так и нелинейными (при $g_0 < k$). При этом в последнем случае $x \ll 1$ выполняется неравенство $c_1 \ll c_2, c_3$.

Подчеркнем, что возможна ситуация, когда при сравнительно интенсивном протекании реакции (2) протекание реакции (1) невозможно

из-за диффузионно-миграционных и стехиометрических ограничений. Согласно полученным формулам (36), (37), с увеличением концентрации катионов второго сорта A_2^{2+} при неизменной концентрации катионов первого сорта A_1^{2+} наблюдается депрессия тока j_1 . Например, в отсутствие в системе ионов второго сорта $k=0$ и из (36) имеем

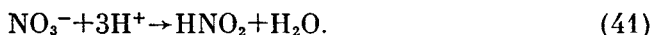
$$j_1^{12}|_{k=0} = 1 + Z_1 \quad (38)$$

— известный результат для бинарного раствора. При избытке катионов второго сорта $k \rightarrow \infty$ и ток стремится к значению:

$$j_1^{12}|_{k \rightarrow \infty} = 1 + Z_1 - Z_1(1 + 1/Z_2)/(1 + \nu), \quad (39)$$

которое меньше, чем значение, определяемое формулой (38).

Применим полученные результаты к одной из возможных реакций восстановления NO_3^- при электроосаждении меди из нитратных растворов [5]:



Для этих реакций $z_1=2$, $z_2=z_3=1$, $n_2=3$, $n_3=1$, $D_{NO_3^-}=1,92 \cdot 10^{-5}$ см²/с, $D_{H^+}=9,34 \cdot 10^{-5}$ см²/с, откуда $\nu=0,617$. В режиме «полностью» предельного тока профили концентраций являются линейными функциями вида (34), а безразмерные потоки даются формулами:

$$j_1^{12} = (0,85k + 3,7)/(1,617k + 1,23), \quad j_2^{12} = 2k(k+2)/(1,617k + 1,23). \quad (42)$$

С увеличением k величина j_1^{12} уменьшается вплоть до значения $j_1^{12} \approx 0,5$: что означает существование в системе неполной депрессии предельного тока по первому сорту катионов.

Отметим, что в случае, когда все ионы в системе имеют одинаковые зарядности $z_1=z_2=1$, существует более простой с математической точки зрения метод решения системы (3)–(7). В этом случае (8) переходит в выражения для концентрации $c_3(x)$:

$$c_3(x) = (1+k) + (x-1)(j_1 + j_2(1+\nu))/2, \quad (43)$$

откуда с помощью (5) легко найти выражение для:

$$d\Psi/dx = (j_1 - j_2 + \nu j_2)/(2c_3(x)). \quad (44)$$

Интегрирование (44) с учетом граничного условия $\Psi(1)=0$ дает

$$\Psi(x) = \tau \ln \left[1 + \frac{(x-1)(j_1 + j_2(1+\nu))}{2(1+k)} \right], \quad (45)$$

где $\tau = (j_1 - j_2 + \nu j_2)/(j_1 + j_2 + \nu j_2)$. Подставляя $\Psi(x)$ в уравнение (3), можно найти распределение концентраций катионов $c_1(x)$:

$$c_1(x) = \left[1 + \frac{(x-1)(j_1 + j_2(1+\nu))}{2(1+k)} \right]^{-\tau} \times \\ \times \left(\int_1^x dx j_1 \left\{ 1 + \frac{(x-1)[j_1 + j_2(1+\nu)]}{2(1+k)} \right\}^{\tau} + 1 \right). \quad (46)$$

Заметим, что параметр τ может принимать в общем случае как положительные, так и отрицательные значения. В режиме предельного тока по катионам $c_1(x=0) \rightarrow 0$. В случае $\tau < 0$, $c_1(0)$ может стремиться к нулю как за счет первого множителя в (46), чему соответствует, как следует из (5), и $c_3 \rightarrow 0$, так и за счет второго сомножителя. Если же $\tau > 0$, то $c_1(0) \rightarrow 0$ при условии

$$1 - [1 - (j_1 + j_2 + \nu j_2)/(2k+2)]^{\tau+1} = [1 + (\nu+1)j_2/j_1] (\tau+1)/(2k+2). \quad (47)$$

Условию (47) соответствует в общем случае стремление к нулю величины $c_1(0)$, тогда как концентрации $c_2(0) = c_3(0) > 0$.

«Полному» предельному току i^{12} соответствует одновременное выпол-

нение условий (47) и $c_3(0)=0$. При этом из (43) и (47) можно получить:

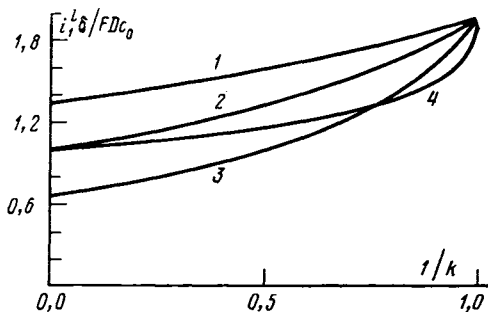
$$j_1^{12}=2v(1+k)/(k+v+kv), \quad (48)$$

$$j_2^{12}=2k(1+k)/(k+v+kv), \quad (49)$$

$$i^{12} = \frac{2Fc_1^0}{L} \frac{1+k}{k+v+kv} (vD_1+kD_2). \quad (50)$$

Как следует из формулы (50) при $k=0$, т. е. в отсутствие в растворе ионов водорода, i^{12} совпадает с предельным током в бинарном растворе $2FD_1c_1^0/L$. При увеличении k вклад, соответствующий второму слагаемому в скобках в (50), возрастает, а соответствующий первому и описывающий ток восстановления катионов, убывает. Физический смысл полученного результата заключается в следующем. Росту k соответствует реализация двух конкурирующих эффектов. Во-первых, добавление к раствору кислоты уменьшает величину предельного тока до значения, даваемого формулой Эйнена:

$$i^{12} = FD_1c_1^0/L2(1+k) \cdot (1-\sqrt{1-1/(1+k)}). \quad (51)$$



Зависимости предельного тока осаждения катионов j_1^{12} от состава раствора, определяемые формулой (48) при $z_1=z_2=z_3=1$ и значения параметра v : 1 - $v > 1$, 2 - $v = 1$, 3 - $v < 1$. Кривая 4 соответствует формуле (51)

Это значение i_1^{12} следует также из формулы (47) при $j_2=0$. Во-вторых, вследствие протекания реакции восстановления анионов происходит изменение предельного тока i_1^{12} , аналогичное описываемому теорией эффекта корреляционной экзальтации миграционного тока [2, 4]. Зависимости $j_1^{12}(k)$, определяемые для ряда значений параметра v формулами (48) и (51), показаны на рисунке. Как видно из рисунка, j_1^{12} принимает значения, превышающие при $v > 1$ значения, даваемые формулой (51). При $v < 1$ j_1^{12} , даваемое формулой (48), превышает значения, определяемые (51) в области достаточно малых k . Таким образом, здесь существенно сказывается как стехиометрия процесса, так и соотношение коэффициентов диффузии компонентов, входящих в v .

ЛИТЕРАТУРА

1. Харкац Ю. И. // Электрохимия. 1978. Т. 14. С. 1840.
2. Kharkats Yu. I. // J. Electroanal. Chem. 1979. V. 105. P. 97.
3. Тополев В. В., Харкац Ю. И. // Электрохимия. 1983. Т. 19. С. 515.
4. Харкац Ю. И. // Электрохимия. 1978. Т. 14. С. 1716.
5. Гуревич Ю. Я., Донченко М. И., Мотронюк Т. И. и др. // Электрохимия. 1989. Т. 25. С. 784.
6. Ньюмен Дж. Электрохимические системы. М.: Мир, 1977. 463 с.
7. Hsueh L., Newman J. // Ind. Eng. Chem. Fund. 1971. V. 10. P. 615.

Институт электрохимии им. А. Н. Фрумкина
Академии наук СССР, Москва

Поступила в редакцию
15.IV.1988
После переработки поступила
21.IV.1989